



Numerical Modeling and Stability Analysis of Shallow Foundations Located Near Slopes (Case Study: Phase 8 Gas Flare Foundations of South Pars Gas Complex)

M. Azarafza^{*1}, E. Asghari Kaljie² & M. R. Moshrefyfar¹

1) Department of Geology, Faculty of Sciences, University of Yazd, Iran, m.azarafza.geotech@gmail.com

2) Department Faculty of Natural Sience. University of Tabriz, Iran

^{*}) Correspondence Author

Received: 18 Apr. 2014; revised: 10Agu. 2014; accepted: 10Sep. 2014; available online: 21Nov. 2015

Abstract

Nowadays for many reasons, including geological structures governing on the project site, the foundation near of the rock slope and embankment are constructed. The analysis of this type foundation, the slope effect on found is non-negligible and will be cause changes on failure system. Generally, conditions governing on slope (such as position, body masses, physical and mechanical properties, strength parameters and etc.) and the the foundation conditions (foundation type, material, spacing of the slope, the weight on the foundation, found deviation, Angularity of foundation and etc.) play an important role in the foundation stability analysis. In this study, we attempted to numerical modeling of Phase 8 Gas flare foundation of South Pars Gas Complex is located near slope by the finite difference method (FDM) using Flac2D software. The aim of this study, evaluating and analyzing the probabile failure mechanism. Finally, Gas flare stability based on the results of the modeling is controlled.

Key words: Numerical Modeling, Gas Flare, Bearing capacity, Geotechnics, South Pas Gas Complex



مدل‌سازی عددی و تحلیل پایداری پی‌های سطحی در نزدیک شیب‌ها (مطالعه مودی: پی‌فلرگاز فاز ۸ مجتمع گاز پارس جنوبی)

محمد آذرافزای^{۱*}، ابراهیم اصخری کله‌اهی^۲ و محمد رضا مشrefی‌فر^۱

(۱) گروه زمین‌شناسی، دانشکده علوم پایه، دانشگاه یزد، m.azarafza.geotech@gmail.com

moshrefy@yazd.ac.ir

(۲) گروه زمین‌شناسی، دانشکده علوم طبیعی، دانشگاه تبریز، e-asghari@tabrizu.ac.ir

(* عهده‌دار مکاتبات

دریافت: ۹۳/۷/۳۱؛ دریافت اصلاح شده: ۹۳/۶/۲۰؛ پذیرش: ۹۳/۵/۲۰؛ قابل دسترس در تارنما: ۹۴/۸/۳۰

چکیده

امروزه به دلایل زیادی، از جمله ساختارهای زمین‌شناختی حاکم بر سایت پژوهه‌ها پی‌های نزدیک شیب‌های سنگی و بعض‌با خاکی احداث می‌گردند. در تحلیل این نوع پی‌ها اثر شیب موجود غیرقابل اغماض بوده و موجب تغییر در مکانیسم گسیختگی پی می‌گردد. بطور کلی شرایط حاکم بر شیب (از جمله: موقعیت، جنس توده، خواص فیزیکی و مکانیکی، پارامترهای مقاومتی و...) و شرایط حاکم بر پی (نوع، جنس، فاصله‌داری از شیب، وزن سازه وارد بر پی، انحراف بر پی، زاویه‌داری بر پی و...) نقش مهمی در تحلیل پایداری پی دارند. در این مطالعه، اقدام به مدل‌سازی عددی پی‌فلرگاز فاز ۸ مجتمع گاز پارس جنوبی که بر روی یک شیب اصلاح شده قرار گرفته، توسط روش تفاضلات محدود (FDM) به کمک نرم افزار Flac^{2D} می‌گردد. هدف از این مدل‌سازی، تعیین و تحلیل سطح گسیختگی احتمالی و مکانیسم آن می‌باشد. در نهایت، اقدام به کنترل پایداری پی‌فلر مورد نظر برپایه نتایج حاصل از مدل‌سازی می‌گردد.

واژه‌های کلیدی: مدل‌سازی عددی، فلر گاز، ظرفیت برابری، ژئوتکنیک، مجتمع گاز پارس جنوبی.

۱- مقدمه

خاصی را برای طراحی برای هر نوع سازه‌ای ارائه گردیده است. که پی‌های سطحی باید بگونه‌ای طراحی شوند که سازه‌های متکی بر آنها بتوانند کارایی پیش‌بینی شده در طول عمر مفید خود را حفظ کنند. بدین منظور طراحی پی باید بنحوی انجام پذیرد که سطح ایمنی مورد نظر برای سازه و نیز قابلیت بهره‌دهی آن را تحت اثر بارگذاری‌های مورد انتظار تأمین کند. آینه‌های مختلف اصول

جهت محاسبه ظرفیت باربری پیهای سطحی وجود دارد. در بیشتر این تئوری ها سطح گسیختگی ایجادی بصورت گسیختگی برش کلی تعريف می گردد (Das 2007). در تصویر (۱) گسیختگی برشی در باربری پیهای سطحی یک شالوده سطحی طبق تئوری ترزاقی نشان داده شده است.

Meyerhof (1975) یک رابطه تجربی را برای محاسبه ظرفیت باربری پیهای سطحی صلب قرار گرفته در بالای شیبها ارائه نمود. رابطه تئوری Meyerhof برای محاسبه ظرفیت باربری سطحی را می توان حاصل تغییراتی در تئوری Terzaghi (1943) برای محاسبه ظرفیت باربری پیهای سطحی صلب قرار گرفته در بالای شیبها ارائه نمود (تصویر ۲).

$$q_{u.slope} = C' N_{cq} + \frac{1}{2} \gamma B N_q \quad \text{رابطه (۴)}$$

در رابطه فوق، $q_{u.slope}$ برابر ظرفیت باربری پیهای سطحی صلب قرار گرفته در بالای شیبها و ثابت های مایر ھوف معروف می شوند. ایشان برای محاسبه مقادیر ثابت های مایر ھوف نمودارهای خاصی ارائه نموده

است (Wing 2005).

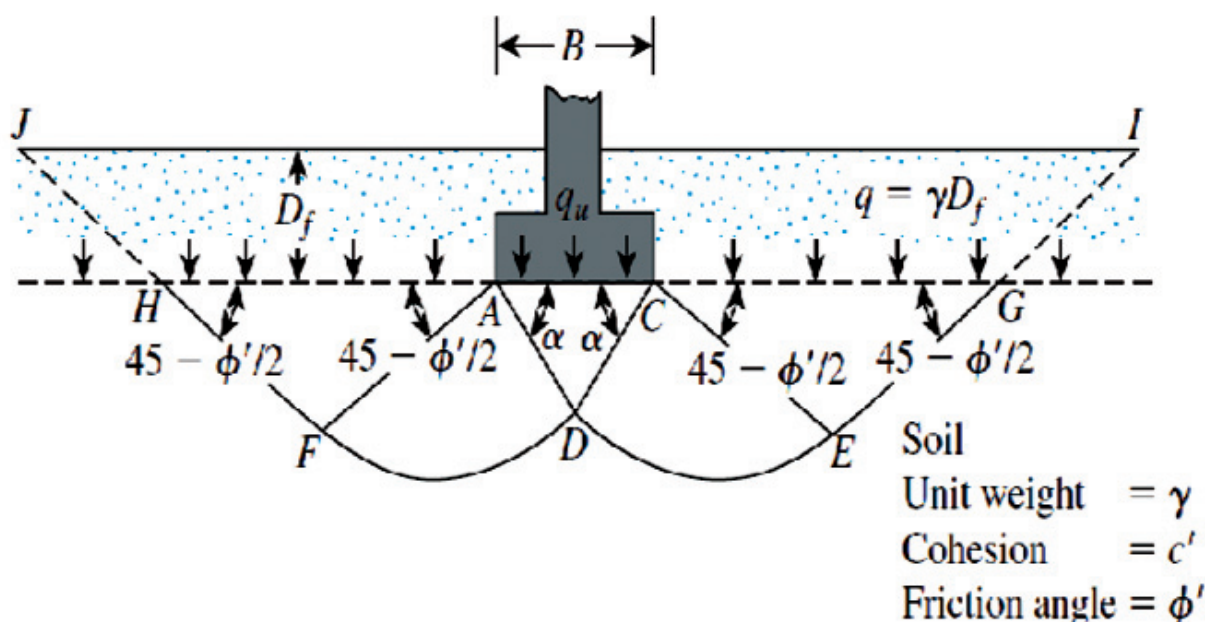
می باشند و دارای مفهوم خاص می باشند که برای هر یک از نوع خاص طراحی پیه کاربرد دارند (آذارفا ۱۳۹۲). با توجه به تعداد زیادی از پارامترهای مورد نیاز در ارزیابی ظرفیت باربری سطحی برای پیهای سطحی، برخی از نظریه های دارای محدودیت حذف گردیده اند. از محققینی که اقدام به ارائه نظریه جهت تحلیل ظرفیت باربری سطحی برای پیهای سطحی ارائه داده اند، می توان به: Hansen (1970); Meyerhof (1957); Terzaghi (1943) (Shiau et al. 2006); Mitchell (1993); Vesic (1973) (Castelli & Motta 2010). در زیر روابط تحلیل ظرفیت باربری سطحی برای پیهای سطحی ارائه شده توسط محققین مختلف آورده شده است (Peters 2011).

$$q_u = 1.3 CN_c + qN_q + 0.4B\gamma N_\gamma \quad \text{Terzaghi (1943)}$$

$$q_u = CN_c S_c d_i c_c + qN_q S_q d_i q_q + 0.5B\gamma N_\gamma S_\gamma d_\gamma i_\gamma \quad \text{Meyerhof (1957)}$$

$$\begin{aligned} q_u = & CN_c S_c d_i c_c g_c b_c \\ & + qN_q S_q d_i g_q b_q \quad \text{Hansen (1970) \& Vesic (1973)} \\ & + 0.5B\gamma N_\gamma S_\gamma d_\gamma i_\gamma g_\gamma b_\gamma \end{aligned}$$

همانطور که بیان گردید، مشترکات زیادی بین نظریات ارائه شده



تصویر ۱ - گسیختگی برشی در باربری سطحی یک شالوده سطحی طبق تئوری ترزاقی (Budhu 2010)

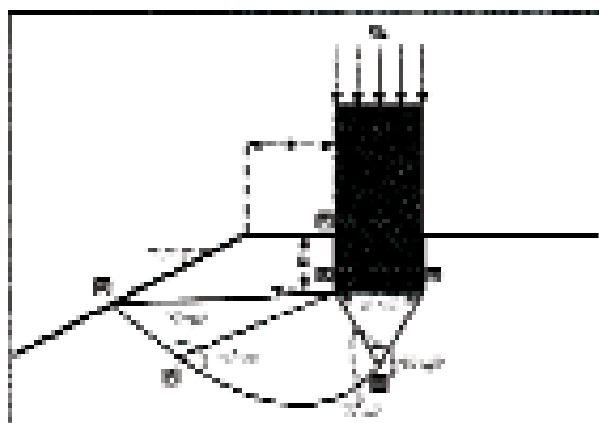
ساختگاه فلر ۸ از معیار شکست هوک و برآون استفاده شده و در جداول (۱) و (۳) آرائه شده است.

۱۳- مدل سازی عددی

مدل سازی و تحلیل پایداری بی‌های سطحی نزدیک شیب‌ها می‌تواند کاملاً یک مورد پیچیده اطلاق گردد. در این راستا بسیاری از پارامترها، شرایط و رفتارها باید در نظر گرفته شده و مناسب‌ترین حالت برای تعیین ظرفیت باربری لحظه گردد. در تصویر (۳) نمایی شماتیک از مسئله پیشروی این مطالعه نشان داده شده است. هدف از این مطالعه استفاده از روش تفاضلات محدود (FDM) جهت مدل سازی شرایط حاکم بر بی‌فلر گاز فاز ۸ و همچنین تحلیل نتایج ظرفیت باربری نهایی این سازه تحت شرایط ذکر شده توسط نرم افزار Itasca 2006 Flac^{2D} می‌باشد.

۱۴- بی‌فلر گاز فاز ۸

سایت مورد بررسی در منطقه ویژه اقتصادی انرژی پارس، در محدوده مجتمع گاز پارس جنوبی است. محل ورودی به سایت در تاقدیس عسلویه و در ابتدای بزرگراه مواصلاتی کنگان - عسلویه می‌باشد.



تصویر ۲ - مکانیسم و سطح گسیختگی ارائه شده برپایه تئوری مایرهوف برای بی‌های نزدیک شیب (Wing 2005)

۲- پارامترهای ژئومکانیکی توده‌سنگ‌های میزان

شناخت صحیح از توده‌هایی که سازه‌های زئوتکنیکی در آنها یا بر روی آنها ساخته می‌شود، مهمترین عامل تامین پایداری و ثبات سازه بشمار می‌آید. عدم شناخت کافی از شرایط ژئومکانیکی و ژئوتکنیکی حاکم بر سایت پروژه مشکلات بسیاری را در حین ساخت و بعد از اتمام سازه بهمراه دارد. برای محاسبه پارامترهای ژئومکانیکی توده‌سنگ‌ها می‌توان از میانگین ارائه شده است. برای محاسبه پارامترهای ژئومکانیکی توده‌سنگ‌ها

جدول ۱- پارامترهای ژئومکانیکی محاسبه شده توده‌سنگ‌های ساختگاه فلر (آذرفزا و همکاران ۱۳۹۲-الف)

Rock Type	Intact Parameters					Rock Mass Parameters				
	UCS (Mpa)	E (Gpa)	V	Cohesion (Mpa)	Friction (Degree)	Deformation Modulus(Mpa)	UCS (Mpa)	Tensile Strength (Mpa)	Global Strength (Mpa)	V
Clayey marl	16.3	65.5731	0.2	0.753	21.64	4529.95	1.103	-0.109	1.971	0.24
marlstone	25.34	69.6272	0.2	1.102	28.93	5648.11	1.714	-0.097	3.916	0.24
Carbonate marl	33.39	72.1248	0.2	1.248	30.94	6483.48	2.259	-0.128	5.160	0.24

جدول ۲- مقادیر RMR محاسبه شده برای توده‌سنگ‌های ساختگاه فلر (آذرفزا و همکاران ۱۳۹۲-الف)

No.	Rock Type	qc	RQD	Joint Spacing	Joint condition	GWC	Joint orientation	RMR
1	Clayey marl	2	3	8	20	10	-5	38
2	marlstone	2	8	8	20	10	-5	43
3	Carbonate marl	2	8	10	20	10	-5	45

جدول ۳- خلاصه خواص و پارامترهای ژئوتکنیکی ساختگاه فلر (آذرفزا و همکاران ۱۳۹۲-ب)

Soil description	USCS Classification	NSPT (ave.)	E	Cu	C	γ_d (gr/cm ³)	V
Sandy gravel to gravelly sand + some clayey silt	GC to GW SC to SM	> 100	1010	-	0.16	35.5	1.89
Compacted Marl to Marlstone	CL to CH	> 100	710 to 1850	7.3 to 21	-	-	0.2

پایداری پی فلر مورد مطالعه می باشد. برای بررسی این حالت از روابط Bowles (Bowles 1997) برای پی های نزدیک دامنه ها استفاده شده است. برای این حالت رابطه باولز بصورت زیر تعریف می گردد.

$$q_a = X(N'c) \cdot K_1 + Y(N'q) \cdot D_f \cdot K_2 + Z(N'\gamma) \cdot B \cdot K_3 \quad (\text{Bowels} 1997)$$

$$\beta = 33.7 \rightarrow \begin{cases} \frac{D_f}{B} = 0.5 \\ \beta = 33.7^\circ \end{cases}$$

$$\phi = 35.5^\circ \Rightarrow \begin{cases} N'c = 35.44 \\ N'q = 10.86 \\ N'\gamma = 21.33 \end{cases}$$

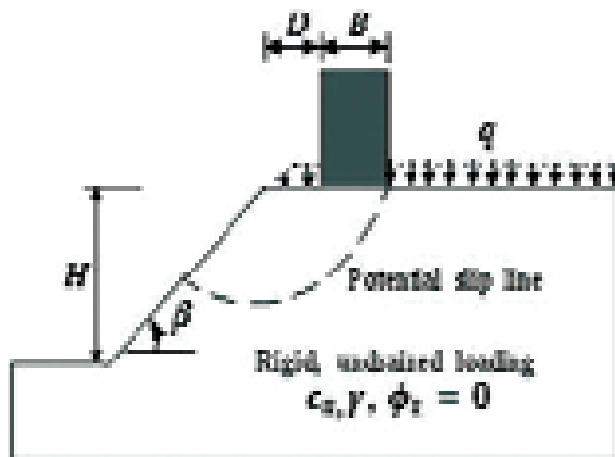
$$q_a = \frac{N'c}{N_c} \times 19.2 \times cK_1 + \frac{N'q}{N_q} \times 16.7 \times D_f K_2 + \frac{N'\gamma}{N\gamma} \times 12.3 \times BK_3$$

$$q_a = 6.1K_1 + 5.5D_f K_2 + 7.5BK_3$$

$$\text{if } \begin{cases} D_f = 0.5 \text{ m} \\ B = 10 \text{ m} \\ K_1 = 1.044 \quad \text{then} \\ K_2 = 1.02 \\ K_3 = 0.50575 \end{cases}$$

$$\Rightarrow q_a = 6.1K_1 + 2.75K_2 + 75K_3$$

$$q_a = 6.3684 + 2.805 + 37.931 \Rightarrow q_a = 47.10465$$

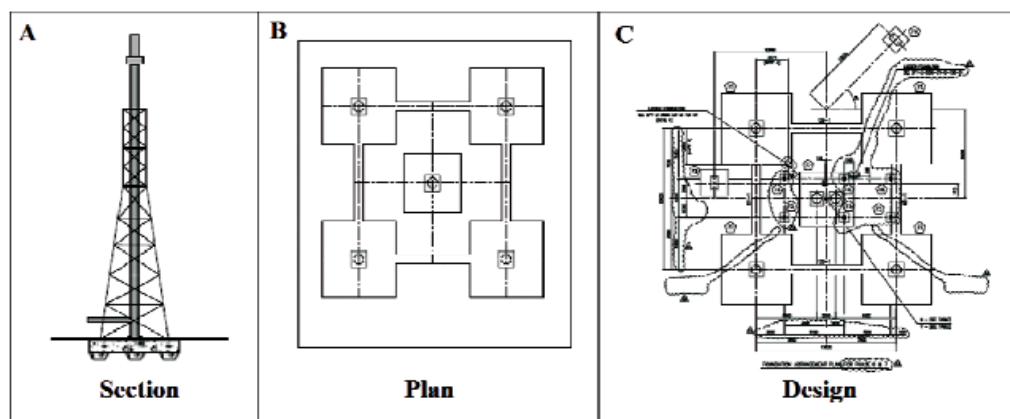


تصویر ۳- نمایی شماتیک از مسئله پیش روی این مطالعه

موقعیت جغرافیایی سایت در منطقه انرژی پارس به مختصات "۱۰۷۸، ۳۵° طول شرقی و "۲۷°، ۳۲°، ۲۷° عرض شمالی است. محل قرارگیری فلر ۸ در سایت فلرها به مختصات "۲۰/۵۱، ۳۵° طول شرقی و "۱۹/۸۶، ۳۲°، ۲۷° عرض شمالی می باشد (آذارفزا ۱۳۹۲). عمدۀ سازندهای تشکیل دهنده سایت، سازندهای مارنی آغاجاری و سنگ های مارنی و سیلتی سازندهای میشان می باشند (اقابتی ۱۳۸۵). فلر ۸ روی سازند مارنی آغاجاری قرار دارد. فلر گاز مورد مطالعه مربوط به فاز ۸ با سیستم HP، نوع فلرهای مرتفع FSM MK II 36" Derrick و تیپ "Derrick می باشد. ارتفاع فلر ۹۲ متر و مساحت پی آن 10×10 متر است. پی ها از نوع سطحی بدون شمع کوبی زیر پی و مربعی هستند (آذارفزا ۱۳۹۲). در تصویر (۴) مقطع، پلان و طراحی پی برای فلر گاز بر اساس استاندارد ارائه شده است.

۱۱- تعیین ظرفیت پایداری

هدف از مدل سازی های صورت گرفته، رسیدن به معیاری برای تحلیل



تصویر ۴- نمایی شماتیک از پی فلر مورد مطالعه

جابجایی ها ایجاد شده در مرزها، مدل با طبیعت موجود در سایت به تعادل می رسد. پس از تعادل اولیه، تغییرات مدنظر با هندسه مربوطه به مدل اعمال می گردد. پس از ایجاد، مدل تا رسیدن به تعادل نهایی مجددأ حل می گردد. برای دست یافت به این مدل، پارامترهای زیر مدنظر خواهد بود.

$\frac{c}{\gamma B}$	Soil strength ratio
$\frac{H}{B}$	Slope height ratio
$\frac{D}{B}$	Footing distance ratio
$\frac{p}{\gamma B}$	Normalised bearing capacity

در تصاویر (۵) تا (۸)، به ترتیب مدل هندسی، جابجایی افقی توده، جابجایی قائم توده زیر بی فلر و وضعیت تنش های برجای حاکم بر توده محاسبه شده پیرامون بی فلر نشان داده شده است.

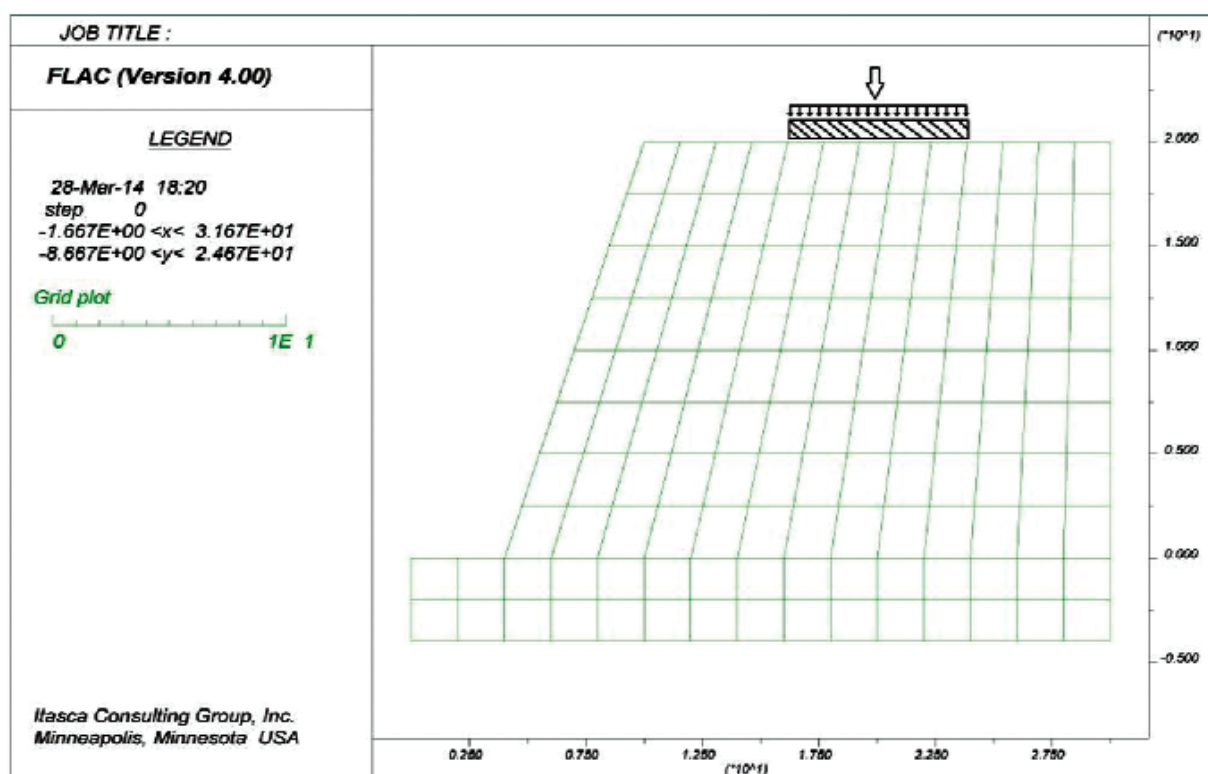
با توجه به نتایج فوق، می توان بیان نمود که سطح لغزش احتمالی ایجادی در بدنه دامنه زیر بی فلر از نوع لغزش قاشقی داخل بدنه می باشد. اما با توجه به وضعیت تنش های برجای حاکم بر توده و همچنین پارامترهای مقاومتی توده احتمال این لغزش بسیار کم بوده و بی فلز پایدار ارزیابی می گردد. با توجه به جابجایی قائم محاسبه شده

جدول ۴- نتایج محاسبه ظرفیت باربری توسط روش باولز

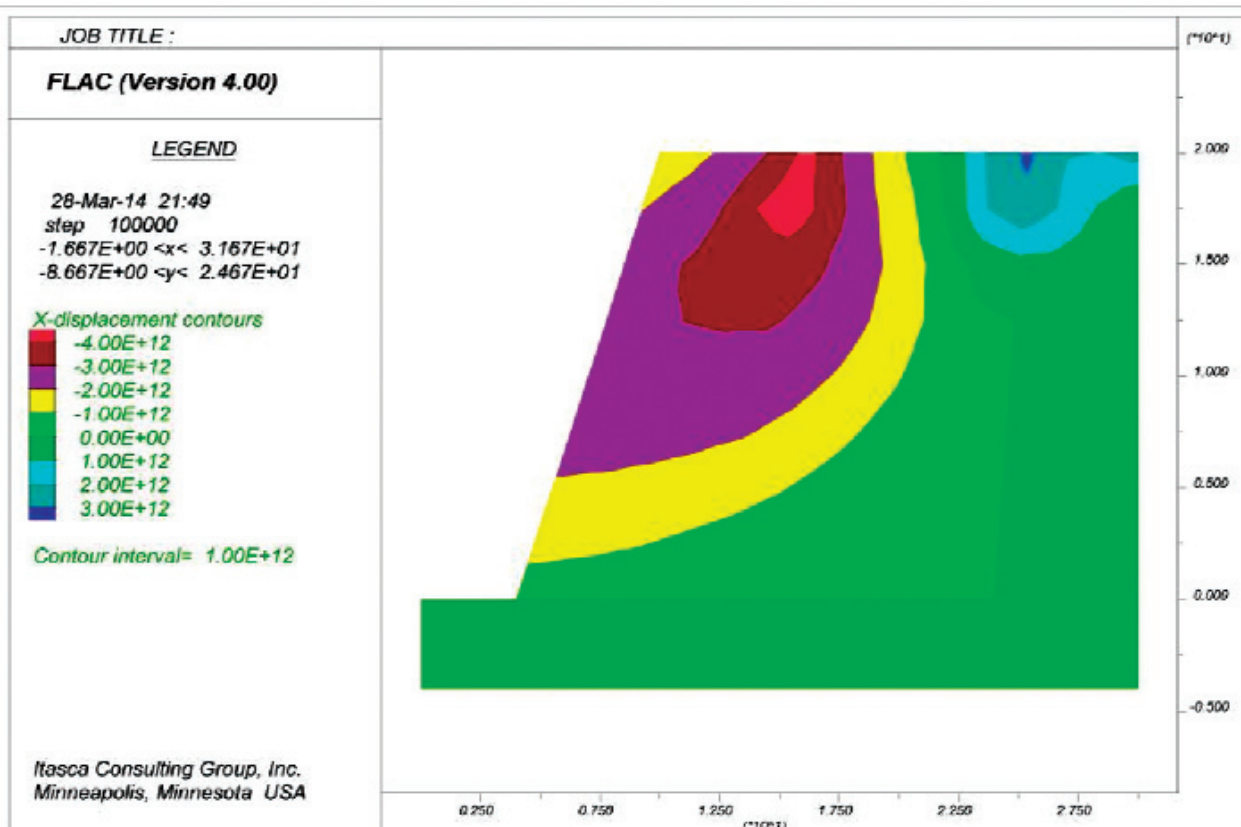
Allowable Bearing Capacity	47.10465	t/m ²
----------------------------	----------	------------------

۱۳-۳- مدل سازی بی فلر گاز فاز ۸

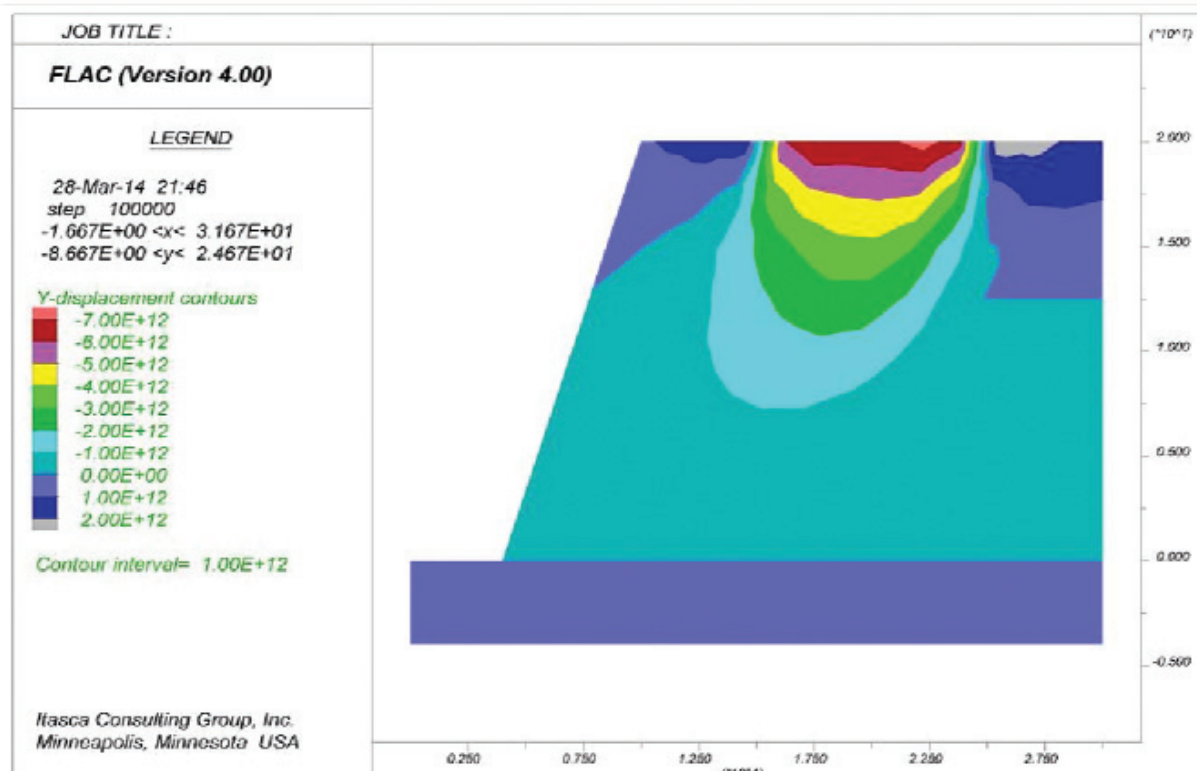
روش تحلیل عددی تفاضلات محدود (FDM) و نرم افزار Flac^{2D} توانایی بالایی در تحلیل ساختارهای مهندسی در محیط های پیوسته را دارا می باشد (Itasca 2006). این نرم افزار توانایی مدل نمودن ساختارهای متنوع ژئوتکنیکی از جمله، خاک ها و سنگ ها جهت ارزیابی رفتار مواد مانند جریان پلاستیک بعد از نقطه تسلیم، تغییر شکل های پلاستیک در بدنه توده، زون های پلاستیک تشکیل شده حاصل از استرس های برجا و ... را دارد (Peters 2011). به هر حال، در این مطالعه، جهت فهم مکانیسم شکست احتمالی و سطح گسیختی محتمل ایجادی در شیب زیر بی فلر گاز فاز ۸ مجتمع گاز پارس جنوبی از توانایی نرم افزار Flac^{2D} استفاده گردیده است. برای دست یافت به این مهم، اقدام به تهیه مدل و تحلیل پایداری آن تحت شرایط موجود گردیده است. ابتدا مدل هندسی توده برپایه سیستم زمین شناختی و توپوگرافی موجود در سایت مطالعاتی تهیه می گردد. سپس با اعمال شرایط مرزی و تنش های اولیه در محدوده مناسبی از مدل تا رسیدن به تعادل اولیه حل گردیده و سپس با صفر نمودن



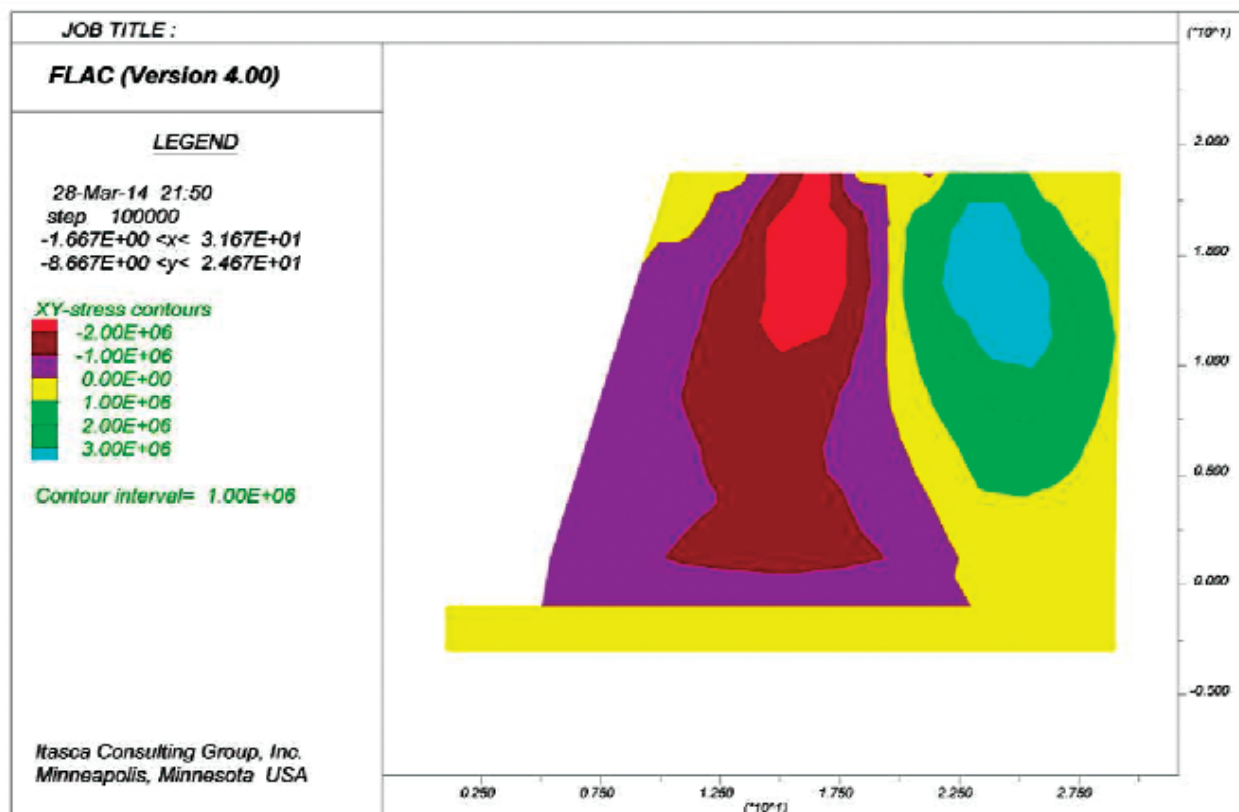
تصویر ۵- مدل هندسی تهیه شده از سایت



تصویر ۶- جابجایی افقی توده زیر پی فلر



تصویر ۷- جابجایی قائم توده زیر پی فلر



تصویر ۸- وضعیت تنش‌های بر جای حاکم بر توده

فاصله‌داری از شیب، وزن سازه وارد بر پی، انحراف پی، زاویه‌داری بصورت مناسبی در بدنه توده توزیع گردیده است. لازم به ذکر می‌باشد، تاثیر شیب بر روی تغییر روند نشست پذیری کاملاً مشهود می‌باشد.

(ب) با توجه به نتایج بررسی، می‌توان بیان نمود که سطح لغزش احتمالی ایجادی در بدنه دامنه زیر پی فلر از نوع لغزش قاشقی داخل بدنه می‌باشد.

(ج) با توجه به وضعیت تنش‌های بر جای حاکم بر توده و همچنین پارامترهای مقاومتی توده احتمال این لغزش بسیار کم بوده و بی‌فلز پایدار ارزیابی می‌گردد.

(د) با توجه به جایگایی قائم محاسبه شده توزیع تنش ناشی از قرارگیری پی بر روی توده و نشست حاصل بصورت مناسبی در بدنه توده توزیع گردیده است. لازم به ذکر می‌باشد، تاثیر شیب بر روی تغییر روند نشست پذیری کاملاً مشهود می‌باشد.

۱۴- نتیجه‌گیری

هدف اصلی این مطالعه تهیه یک مدل عددی مناسب با درنظر گرفتن شرایط حاکم بر محیط پی بوده است. از روش تحلیل الاستوپلاستیک و معیار شکست موهر- کولمب، جهت برای محاسبه ظرفیت باربری پی فلز فاز ۸ بر روی ترانشه کنار آن استفاده شده است. این تحلیل با استفاده از مدل سازی به روش تفاضلات محدود به کمک نرم افزار FLAC^{2D} انجام و نتایج اصلی به دست آمده از این مدل سازی بصورت زیر پارامتریندی می‌گردد:

(الف) در تحلیل این نوع پی‌ها اثر شیب موجود غیرقابل اغماض بوده و موجب تغییر در مکانیسم گسیختگی پی می‌گردد. بطور کلی شرایط حاکم بر شیب (از جمله: موقعیت، جنس توده، خواص فیزیکی و مکانیکی، پارامترهای مقاومتی و...) و شرایط حاکم بر پی (نوع، جنس،

تشکر و قدردانی

از مدیریت محترم پالایشگاه چهارم و فازهای ۷، ۶ و ۸ شرکت مجتمع گاز پارس جنوبی، به خاطر حمایت و همکاری در انجام مطالعات، تشکر و قدردانی می‌شود.

مراجع

آقابناتی، ع.م.، ۱۳۸۵. زمین‌شناسی ایران. انتشارات سازمان زمین‌شناسی و اکتشافات معدنی کشور، تهران، ایران، ۷۰۸.

آذرفرا، ا.م.، ۱۳۹۲. بررسی مخاطرات ژئوتکنیکی ساختگاه فلرهای گاز فازهای ۶، ۷ و ۸ مجتمع گاز پارس جنوبی. پایان نامه کارشناسی ارشد، دانشگاه یزد، یزد، ایران، ۳۸۲ ص.

آذرفرا، م.، اصغری کلچاهی، ا.، و مشرفی فر، م.، ۱۳۹۲-الف. تعیین پارامترهای ژئومکانیکی توده سنگ‌های ساختگاه فلرهای گاز فازهای ۶، ۷ و ۸ مجتمع گاز پارس جنوبی. ۱۳۹۲امین گردهمایی و نخستین کنگره بین‌المللی تخصصی علوم زمین، ساری، ایران.

آذرفرا، م.، یاراحمدی، ع.، اصغری کلچاهی، ا.، بهمن‌نیا، غ.، و مشرفی فر، م.، ۱۳۹۲-ب. تحلیل پایداری دامنه‌های سنگی درزه دار به روش بلوک‌های کلیدی (مطالعه موردی: محدوده فلرهای گاز فازهای ۶ تا ۸ مجتمع گاز پارس جنوبی). نشریه زمین‌شناسی ژئوتکنیک، دانشگاه آزاد اسلامی واحد زاهدان، زاهدان، سال ۹، (۳)، ۱۶۹-۱۸۵.

Budhuö, M., 2010. Soil mechanics and foundations. 3rd ed., Wiley, 780 pp.

Bowles, J E., 1997. Foundation Analysis and Design. 40th edition, McGraw-Hill, New York., USA, 1175pp.

Castelli F. , Motta E., 2010. Bearing capacity of strip footings near slopes. *Journal of Geotechnical and Geological Engineering*, 28(2): 187?198.

Das, B. M., 2007. Principles of Foundation Engineering. 6th edition, Thomson, Toronto, Canada, 637 pp.

Hansen, J. B., 1970. Danish Geotechnical Institute. Copenhagen, Bulletin 28, P.P. 5-11

Itasca., 2006. FLAC2D - Fast Lagrangian Analysis of Continua in 2 dimensions. Itasca Consulting Group, Inc., Minneapolis. FLAC2D Version 4.00, and Manual USA.

Meyerhof, G. G., 1965. Shallow foundations. *Journal of Soil Mech. Found. Div. ASCE*, 91(SM2), 21-31.

Peters, R. G., 2011. Advanced Analysis of Shallow Foundations Located Near Slopes. Thesis to towards the Degree of Bachelor of Engineering (CIVIL), Faculty of Engineering and Surveying, University of Southern Queensland, 170 pp.

Shiau, J.S., Merrifield, R.S., Lyamin, A.V. , Sloan, S.W., 2006. Undrained Stability of Footings on Slopes. *Journal of Geotechnical and Geoenvironmental Engineering ASCE*, January 2006.

Terzaghi, K., 1943. Theoretical Soil Mechanics. Wiley, New York.

Vesic, A. S., 1973. Analysis of Ultimate Loads of Shallow Foundations. *Journal of the Soil Mechanics and Foundations Division, ASCE*, Vol. 99, No. SMI, pp. 45-73.

Wing, Ip K. 2005. Bearing capacity for Foundations near Slope. Thesis Dgree of Master of Science, Dep. of Bulding , Civil and Environment Engineering, University of Concordia, Montreal, Quebec, Canada, 122 pp.